

تأثیر تغییر کاربری اراضی بر تغییرات مکانی پارامترهای نفوذ آب به خاک

شجاع قربانی دشتکی^۱، مهدی همایی^{۲*} و محمدحسین مهدیان^۳

چکیده

تغییرات مکانی نفوذپذیری خاک نقشی بسیار مهم در فرآیندهای هیدرولوژیک ایفا می‌کند. تغییرپذیری این فرآیند متاثر از ویژگی‌های ذاتی و غیرذاتی اراضی می‌باشد. هدف از این پژوهش، بررسی تغییرات مکانی پارامترهای نفوذ آب به خاک در حضور تغییرات مکانی ویژگی‌های ذاتی خاک و تغییر کاربری به عنوان یکی از ویژگی‌های غیرذاتی خاک با استفاده از زمین‌آمار بود. بنابراین، نفوذ آب به خاک در منطقه‌ی تنگ نشار بن واقع استان چهارمحال و بختیاری که به طور همزمان دارای مرتع حفاظت شده و تخریب شده بود به روش تک‌استوانه‌ای (قطر ۳۰ سانتی‌متر) اندازه‌گیری شد. با استفاده از داده‌های نفوذ به دست آمده در ۹۵ نقطه، پارامترهای مدل دو جمله‌ای فلیپ برای هر نقطه تعیین گردید. ساختار مکانی پارامترهای یادشده در کل پهنه‌ی مطالعاتی و در بخش‌های تخریب نشده مورد مطالعه قرار گرفت. میانگین نفوذ تجمعی آب به خاک طی زمان آزمایش در کاربری مرتع بیشتر از مقدار آن در مرتع تخریب شده بود. به نظر می‌رسد عملیات شخم و شیار انجام شده و در نتیجه تخریب مرتع و ایجاد لایه‌ی متراکم ناشی از خاک‌ورزی، یکی از دلایل کاهش نفوذ آب به خاک در مرتع تخریب شده نسبت به مرتع حفاظت شده باشد. تغییرنماهای به دست آمده برای پارامترهای نفوذ نشان داد این پارامترها در پهنه‌ی مطالعاتی از ساختار مکانی قوی برخوردار بوده به گونه‌ای که تنها حدود ۱۰ درصد از تغییرات پارامتر هدایت آبی اشبع و ۳۵ درصد از تغییرات پارامتر ضریب جذبی در مرتع تخریب نشده تصادفی بود. همچنین، بررسی تغییرنمای سطحی پارامتر هدایت آبی اشبع نشان داد این پارامتر به میزان بیشتری نسبت به ضریب جذبی خاک متاثر از تغییر نوع کاربری می‌باشد. به‌طوری که با تخریب بخشی از مرتع در منطقه‌ی مطالعاتی ساختار مکانی هدایت آبی اشبع و ضریب جذبی به ترتیب از ۸۹ و ۶۴ درصد به ۵۶ و ۵۳ درصد کاهش یافت. مقایسه‌ی نتایج به دست آمده در این بخش از پژوهش با نتایج ارایه شده توسط دیگر پژوهشگران نشان داد تغییرات مکانی ویژگی‌های هیدرولوژیکی خاک به منطقه‌ی مطالعاتی وابسته است. آماره‌های محاسبه شده برای اندازه‌گیری خطای برآورد نشان داد روش زمین‌آماری مورد استفاده با حداکثر جذر میانگین مربعات خطای ۰/۰۸ و ۰/۰۱۹ برای هدایت آبی اشبع و ضریب جذبی خاک روشی مناسب برای برآورد پارامترهای نفوذ در پهنه‌ی مطالعاتی بوده است.

واژه‌های کلیدی: تغییرپذیری مکانی، زمین‌آمار، کاربری اراضی، نفوذ آب به خاک

هدایت آبی اشبع به عنوان تنها یکی از پارامترهای آن که با ثابت شدن مقدار آن طی آرمایش اندازه‌گیری نفوذ به آخرین مرحله‌ی خود می‌رسد، ۸۶ درصد است (بای بوردی، ۱۳۷۹). تغییرات مکانی خصوصیات خاک، به عنوان یکی از متغیرهای محیطی، عبارت از تغییر یک خصوصیت از خاک به عنوان تابعی از موقعیت چهارگایی آن نقطه است (Rekman *et al.*, 1998). تغییرات مکانی نفوذپذیری خاک نقشی بسیار مهم در فرآیندهای هیدرولوژیک ایفا می‌کند. ساختار مکانی نفوذ تاثیر بسزایی بر هیدروگراف پهنه‌ی مطالعاتی دارد (Herbst and Diekkruger, 2003). در بسیاری از مدل‌های هیدرولوژی، پارامترهای نفوذ آب به خاک به عنوان ورودی مورد نیاز است. اهمیت پدیده‌ی نفوذ و نقش آن در حل مسائل مدیریتی، لزوم اندازه‌گیری و تعیین آن را ناگریر می‌نماید. یکی از روش‌های متدالو در برآورد ویژگی‌های فیزیکی خاک،

مقدمه

نفوذ آب به خاک در مدیریت منابع آب، طراحی سازه‌های زهکشی و برآورد رواناب سطحی مورد استفاده قرار می‌گیرد. کمی نمودن نفوذپذیری آب به خاک یکی از پارامترهای کلیدی در طراحی روش‌های پالایش و جلوگیری از آلودگی خاک است. لذا، شناخت کمی این پدیده، جلوگیری از تخریب اراضی و منابع خاک و آب را به همراه خواهد داشت. از دیگر سو، پدیده‌ی نفوذ دارای تغییرپذیری مکانی بالایی است به گونه‌ای که ضریب تغییرات^۴

۱- دانشجوی سابق دکتری دانشگاه تربیت مدرس و استادیار فعلی دانشگاه شهرکرد
۲- استاد گروه خاک‌شناسی دانشگاه تربیت مدرس
۳- نویسنده مسئول: (Email:mhomae@yahoo.com)
۴- دانشیار سازمان تحقیقات، آموزش و ترویج کشاورزی، تهران

4- Spatial Variability

5- Coefficient of Variation

به قطر 30 سانتیمتر در 95 نقطه از مراتع و مراتع تخریب شده اندازه‌گیری شد. به منظور تعیین پارامترهای نفوذ آب به خاک از رابطه‌ی دو جمله‌ای فیلیپ (رابطه‌ی (۱)) استفاده شد. مطابق این رابطه در زمان‌های اولیه نفوذ عمودی آب به خاک ورود آب به خاک بیشتر متاثر از نیروی موینگی خاک است (Smith, 1999). بر این اساس، پارامتر k مدل فیلیپ به روش Talsma (۱۹۶۹) تعیین گردید.

$$I = St^{0.5} + At \quad (1)$$

به منظور تعیین پارامتر A در مدل فیلیپ، رابطه‌ی k_{fs} (Gupta et al., 2006; Youngs, 1968) به کار گرفته شد. در این رابطه، k_{fs} هدایت آبی اشباع مزروعه است که با استفاده از روابط زیر بدست می‌آید. سرعت نفوذ آب به خاک از یک حلقه یا استوانه‌ی نفوذسنج در ابتدا بسیار زیاد (از نظر تئوری در زمان صفر بی‌نهایت) و با گذشت زمان مقدار آن کاهش یافته تا به مقداری که دارای حالت شبه‌پایدار (تغییرات سرعت نفوذ در واحد زمان کمتر از 10 درصد) است، برسد. مدت زمان لازم برای رسیدن به سرعت نفوذ شبه‌پایدار با کاهش قطر استوانه یا حلقه‌ی نفوذسنج کاهش می‌یابد (Youngs, 1987 and 1991) گرفته می‌شود که رسیدن به حالت پایدار واقعی نیازمند مدت زمان بسیار طولانی است.

نفوذ شبه‌پایدار آب به خاک از یک حلقه‌ی نفوذسنج را می‌توان به کمک رابطه‌ی ارایه شده توسط Reynolds و Elrick (1990) به صورت زیر تشریح کرد:

$$\frac{q_s}{k_{fs}} = \frac{Q}{(\pi^2 k_{fs})} = \left[\frac{H}{(Cd + C_2 a)} \right] + \left\{ \frac{1}{[\alpha^*(Cd + C_2 d)]} \right\} + 1 \quad (2)$$

که در آن: q_s ($L^3 T^{-1}$) سرعت نفوذ شبه‌پایدار، Q ($L^3 T^{-1}$) شدت جریان شبه‌پایدار معادل، k_{fs} ($L T^{-1}$) هدایت آبی اشباع، مزروعه (L)، a (شعاع حلقه)، H (L) ارتفاع آب داخل حلقه بر سطح خاک، d (L) عمق نفوذ حلقه به داخل خاک، $C_1 = 0.316\pi$ و $C_2 = 0.184\pi$ ثابت‌های بدون بعد و نیمه‌تجربی هستند که برای $d \geq 3 cm$ و $d \leq 5 cm$ به کار می‌روند (Reynolds and Elrick, 1990, Youngs et al., 1995). پارامتر طول خلل و فرج درشت خاک بوده و با توجه به نوع بافت و ساختمان خاک برآورد می‌گردد (Reynolds, et al., 2002). برای تعیین k_{fs} رابطه‌ی (۲) را می‌توان به صورت زیر نوشت:

روش‌های زمین‌آماری^۱ است. پژوهش‌های زیادی در رابطه با تغییرات مکانی ویژگی‌های فیزیکی و شیمیایی خاک و برآورد آنها با استفاده از Zhang et al., 1997; Castrignano, et al., 2000; Herbst and Diekkruger. 2003; Glenna and Carbb, 2003; Catrignano et al., 2004; Pérez-Rodríguez et al., 2007 خاک متاثر از خصوصیات ذاتی خاک از قبیل نوع خاک و توزیع اندازه‌ی منفذ خاک و خصوصیات غیرذاتی مانند عبور و مرور و سایل نقلیه، کشت و کار و نوع کاربری زمین می‌باشد. چگونگی تاثیر این فاکتورها بر ویژگی‌های هیدرولیکی خاک از پهنه‌ای به پهنه‌ی مطالعاتی دیگر متفاوت است. به عنوان مثال، پژوهش انجام شده توسط Rogers و همکاران (۱۹۹۱) نشان داد تنشها در برخی قسمت‌های منطقه‌ی مورد مطالعه همیستگی مکانی بین داده‌های هدایت آبی اشباع وجود داشته و در بیشتر بخش‌ها وابستگی مکانی وجود نداشته و یا بسیار ضعیف بوده است. هدف از این پژوهش، بررسی تغییرات مکانی پارامترهای نفوذ در منطقه‌ی مطالعاتی، بررسی اثر تغییر کاربری بر الگوی تغییرات مکانی نفوذ آب به خاک و برآورد پارامترهای نفوذ با استفاده از روش‌های زمین‌آماری بود.

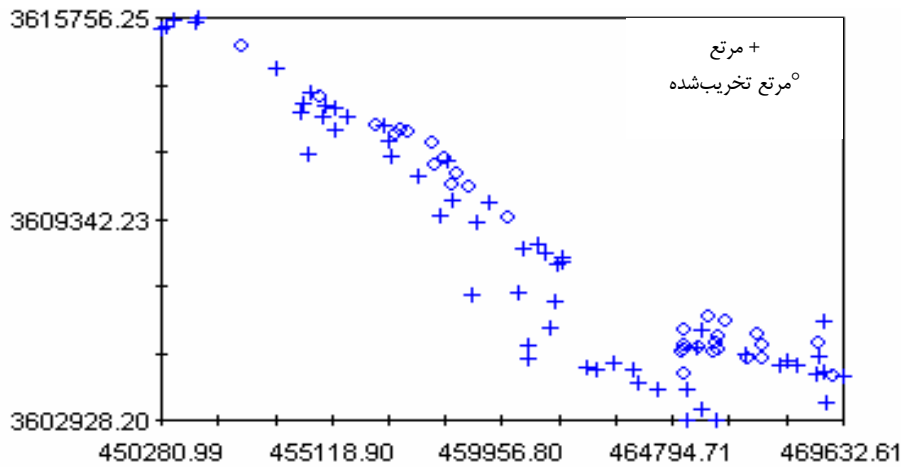
مواد و روش‌ها

منطقه‌ی نثار تنگ بن واقع در استان چهارمحال و بختیاری با مساحت تقریبی 12000 هکتار برای انجام آزمایش‌های نفوذ آب به خاک انتخاب گردید. منطقه‌ی نثار تنگ بن از توابع شهرکرد در محدوده‌ی جغرافیایی $28^{\circ} 25' - 35^{\circ} 50'$ طول شرقی و $40^{\circ} 33' - 44^{\circ} 48'$ عرض شمالی قرار دارد. قسمت عمده این منطقه را ارتفاعات پرشیب تشکیل می‌دهد. ارتفاع متوسط حوزه 430 متر از سطح دریا می‌باشد. متوسط بارندگی سالیانه 10 درجه سانتی‌گراد می‌باشد. طبقه‌بندی خاک منطقه طبق کلید تاکسونومی Calcixerollic ۱۹۹۸ Typic Xerochrepts و Calcic Haploixeralfs است. خاک سطحی دارای بافت‌های رسی، رس سیلیتی، لوم رسی سیلیتی و لوم رسی می‌باشد. پهنه‌ی مطالعاتی انتخاب شده دارای کاربری مرتع حفاظت شده می‌باشد. درصد پوشش گیاهی 30 تا 45 درصد بوده و در برخی نقاط به 70 تا 85 درصد هم می‌رسد. مرتع پهنه‌ی مطالعاتی به طور کامل از فعالیت‌های انسانی در امان نبوده و در اثر فعالیت‌های غیرقانونی در سال‌های گذشته، در برخی نقاط به مرتع شبیه دیده شد. در شکل (۱) وضعیت نقاط مطالعاتی در مناطق حفاظت شده و تخریب شده نشان داده شده است.

نفوذ آب به خاک به روش نفوذسنج تک استوانه‌ای^۲ با استوانه‌ای

3- Field Saturated Hydraulic Conductivity
4- Quasi Steady State

1- Geostatistics
2- Single Ring Infiltrometer



شکل ۱- چگونگی وضعیت نقاط مرتعی و تخریب شده در منطقه‌ی مطالعاتی

به روش کریجینگ معمولی استفاده شد. بنابراین، با استفاده از پارامترهای مدل‌های به دست آمده و نرم‌افزار زمین‌آماری GS⁺ نقشه‌ی میان‌بابی شده‌ی پارامترهای نفوذ تهیه گردید. در پایان کارآیی تخمینگر کریجینگ معمولی در برآورد پارامترهای نفوذ با محاسبه‌ی آماره‌های میانگین مقادیر برآورده شده، میانگین قدرمطلق خطاهای (MAE)، ریشه‌ی میانگین مربعات خطاهای (RMSE) و میانگین خطاهای (ME) ارزیابی شد.

$$MAE = \frac{\sum_{i=1}^n |P_i - M_i|}{n} \quad (4)$$

$$RMSE = \sqrt{\frac{\sum_{i=1}^n (P_i - M_i)^2}{n}} \quad (5)$$

$$ME = \frac{\sum_{i=1}^n (P_i - M_i)}{n} \quad (6)$$

نتایج و بحث

پهنه‌ی مطالعاتی به طور همزمان دارای اراضی با کاربری مرتع و مرتع تخریب شده بود. مقادیر نفوذ تجمعی عمودی در برابر زمان را در دو کاربری یاد شده نشان داد میانگین نفوذ تجمعی آب به خاک در

$$k_{fs} = \frac{q_s}{\left[\frac{H}{(C_1 d + C_2 a)} \right] + \left\{ \frac{1}{[\alpha^*(C_1 d + C_2 a)]} \right\} + 1} \quad (3)$$

از این رابطه برای تعیین هدایت آبی اشباع مزرعه و در نتیجه پارامتر A در مدل فیلیپ استفاده گردید. پس از تعیین پارامترهای S و A در مدل فیلیپ، با استفاده از این مدل، منحنی نفوذ تجمعی آب به خاک در حالت عمودی برای تک نقطه مطالعاتی بدست آمد. با استفاده از نرم افزار GS⁺ (نسخه ۵) تغییرنمای تجربی برای پارامترهای S و A محاسبه شد و ساختار مکانی داده‌ها در کل پهنه‌ی مطالعاتی و نقاط با مرتع حفاظت شده بررسی شد. برخی تحلیل‌های زمین‌آماری از جمله محاسبه‌ی تغییرنما و استفاده از روش کریجینگ معمولی بر مبنای نرمال بودن توزیع داده‌ها استوار بوده و تحلیل‌های زمین‌آماری که در آن‌ها از داده‌های Webster and (Oliver, 2000) با توزیع نرمال استفاده شود، کارآیی بیشتری دارند (Webster and Oliver, 2000). بنابراین، در این پژوهش چگونگی توزیع پارامترهای هدایت آبی اشباع مزرعه (k_{fs}) و ضریب جذبی خاک (S) با استفاده از آزمون نرمال بودن به روش Ryan and Jonier (1976) مورد بررسی قرار گرفت. داده‌های با توزیع نرمال برای تجزیه و تحلیل‌های بعدی به کار گرفته شد. در فرآیند تجزیه ساختاری، مدل‌های استاندارد به تغییرنماهای تجربی به دست آمده برآش داده شد و بهترین مدل برای هر پارامتر انتخاب گردید. با استفاده از تغییرنمای سطحی محاسبه شده، اثر تخریب مرتع بر پارامترهای نفوذ مطالعه شد. برای استفاده از روش‌های زمین‌آماری در برآورد کمیت مورد نظر، ساختار مکانی کمیت مورد نیاز است. در این پژوهش از مدل‌های برآش داده شده بر تغییرنماهای تجربی پارامترهای نفوذ به منظور برآورد این پارامترها

برای بررسی ساختار مکانی از تغییرنماهی همه جانبه که بیانگر متوسط تغییرات مکانی پارامتر k_f در تمام راستاهای است، استفاده گردید. شکل (۳) تغییرنماهی همه جانبه برای پارامتر k_f در حالتی که تمام داده‌ها برای بررسی ساختار مکانی این پارامتر به کار گرفته شد را نشان می‌دهد. این شکل نشان می‌دهد همبستگی مکانی پارامتر k_f پس از رسیدن به شعاع ۴۰۰۰ متر، حالت تصادفی پیدا کرده است.

پس از محاسبه‌ی تغییرنماهی تجربی، تغییرنماهی تئوری این پارامتر با بازش مدل‌های مختلف به داده‌ها تعیین گردید. مدل انتخاب شده مدلی کروی بوده که پارامترهای آن در جدول (۱) ارایه شده است و شکل کلی آن به صورت زیر است:

$$\gamma(h) = C_0 + C[1.5(h/A_0) - 0.5(h/A_0)^3] \quad (7)$$

$$h \leq A_0$$

$$\gamma(h) = C_0 + C \quad (8)$$

$$h > A_0$$

که در آنها (h) شعاع تاثیر، A_0 شاعر تغییرنما، C_0 اثر قطعه‌ای و C بخش دارای ساختار مکانی تغییرنما است. مجموع مربعات خطأ و ضریب رگرسیونی این مدل به ترتیب ۰/۰۰۰۰۲۶ و ۰/۴۹ بوده است. شعاع تاثیر تغییرنما در مدل انتخاب شده برابر ۴۰۰۰ متر بود. این جدول نشان می‌دهد از کل تغییرات مربوط به k_f (در کل منطقه)، ۵۶ درصد آن دارای ساختار مکانی بوده و ۴۳ درصد از این تغییرات تصادفی بوده است. ضریب رگرسیونی به دست آمده برای k_f در کل منطقه نشان می‌دهد مدل ارایه شده برای آن تنها قادر به توجیه ۴۹ درصد از تغییرات تغییرنما تجربی آن بوده است.

ساختار مکانی هدایت آبی اشباع مزروعه با استفاده از داده‌هایی که تنها در مرتع اندازه‌گیری شده بود نیز مورد بررسی قرار گرفت. بدین منظور، تغییرنماهی این پارامتر در چهار راستای اصلی $^{\circ} ۹۰$ ، $^{\circ} ۴۵$ و $^{\circ} ۱۳۵$ درجه تعیین گردید. برای بررسی وضعیت همسانگردی این پارامتر در کاربری مرتع، از تغییرنماهی سطحی و تغییرنماهای به دست آمده در چهار راستای یاد شده استفاده شد. تغییرنماهی سطحی این پارامتر در اراضی مرتع در شکل (۴) ارایه گردیده است. این شکل نشان می‌دهد پارامتر k_f تقریباً تا فاصله‌ی نمونه‌برداری ۲۵۰۰ متر ناهمسانگردی دیده نشده است. مقایسه‌ی این تغییرنماهی سطحی با تغییرنما سطحی ارایه شده در شکل (۲) نشان می‌دهد، وضعیت همسانگردی پارامتر k_f به هنگام استفاده از داده‌های مرتعی مناسب‌تر

کاربری مرتع بیشتر از مقدار آن در مرتع تخریب شده بود. بیشینه‌ی عمق آب نفوذ کرده در کاربری‌های مرتع و مرتع تخریب شده به ترتیب ۹۸ و ۱۰۵ سانتی‌متر بود. به نظر می‌رسد عملیات شخم و شیار انجام شده و در نتیجه تخریب مرتع، یکی از دلایل کاهش نفوذ آب به خاک در مرتع تخریب شده نسبت به مرتع حافظت شده باشد. زیرا، در اثر عملیات شخم و شیار، ماده‌ی آلی خاک برای تجزیه میکروبی سهل‌الوصول تر شده در نتیجه ساختمان خاک تخریب و همچنین سخت لایه‌ای با نفوذپذیری کم در خاک‌خ رایجاد می‌گردد. برابر داده‌های اندازه‌گیری شده در این دو کاربری، میانگین هدایت آبی اشباع مزروعه در مرتع ($112/0$ سانتی‌متر در دقیقه) بیشتر از این مقدار در مرتع تخریب شده ($100/0$ سانتی‌متر در دقیقه) بود. مقایسه‌ی میانگین هدایت آبی اشباع در این دو کاربری بیانگر اثر منفی فعالیت‌های بشر بر یکی از شاخص‌های کیفیت خاک می‌باشد.

بررسی ساختار مکانی پارامترهای نفوذ

به منظور بررسی ساختار مکانی پارامترهای مورد نظر، تحلیل‌های زمین‌آماری با استفاده از داده‌های اندازه‌گیری شده در تمام منطقه و داده‌های اندازه‌گیری شده در کاربری مرتع انجام گردید. بنابراین، آزمون نرمال بودن پارامترهای نفوذ با استفاده از تمامی داده‌ها و داده‌های اراضی مرتعی به طور جداگانه انجام شد. نتایج بدست آمده نشان داد توزیع هیچ‌یک از این پارامترها برای تمامی داده‌ها و داده‌های مرتعی، نرمال نبود. بنابراین، با استفاده از تبدیل ریشه‌ی دوم، توزیع پارامترها نرمال گردید.

تغییرنماهی تجربی پارامتر k_f با استفاده از داده‌های اندازه‌گیری شده‌ی نفوذ در کل منطقه و داده‌های اندازه‌گیری شده نفوذ در اراضی مرتعی به طور جداگانه محاسبه گردید. بر این اساس، تغییرنماهی این پارامتر در چهار راستای اصلی $^{\circ} ۹۰$ ، $^{\circ} ۴۵$ و $^{\circ} ۱۳۵$ درجه تعیین گردید. در شکل (۲) که تغییرنماهی سطحی $^{\circ} ۱$ پارامتر k_f را نشان می‌دهد، ناهمسانگردی موجود در پیوستگی مکانی این پارامتر مشاهده می‌گردد. این شکل نشان می‌دهد پارامتر k_f در جهت شیب و عمود بر جهت شیب ساختار مکانی متفاوتی داشته است. برآش بیضی ناهمسانگردی بر این تغییرنما نشان می‌دهد حرکت در جهت شیب و عمود بر جهت شیب به ترتیب بزرگ‌ترین و کوچک‌ترین قطرهای این بیضی را نمایان می‌سازد. در پهنه‌ی مطالعاتی تغییر نوع کاربری که از عوامل بسیار مهم بر هدایت آبی اشباع است، عمود بر جهت شیب صورت گرفته است. بنابراین، تغییرات این پارامتر هنگام استفاده از تمامی داده‌ها و پیمایش عمود بر جهت شیب بیشترین مقدار شده است. تغییرنماهی سطحی ارایه شده برای پارامتر k_f در شکل (۲) نیز این واقعیت را نشان می‌دهد.

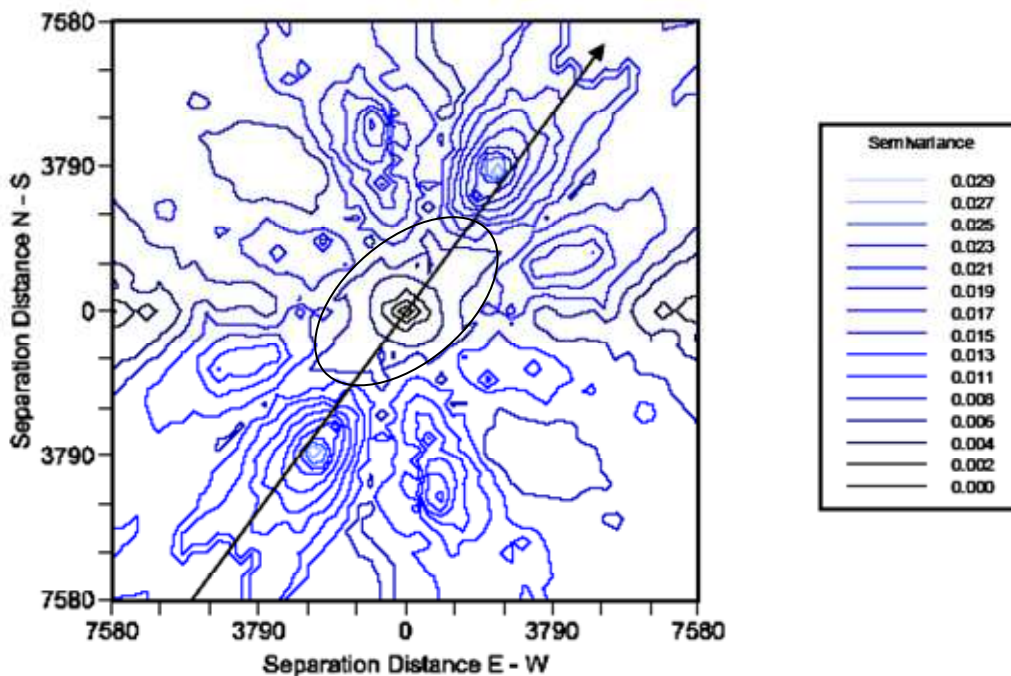
1- Surface Variogram

عوامل بسیار مهم بر هدایت آبی اشیاع است، عمود بر جهت شیب صورت گرفته است. در این تغییرنما، با حذف داده‌های اندازه‌گیری شده در مراتع تخریبی در واقع تغییر در نوع کاربری از داده‌ها حذف گردید. در این حالت تنها تغییرات مکانی پارامتر k_{fs} در اراضی مرتعی مورد بررسی قرار گرفت. بنابراین، تغییر در ویژگی‌های ذاتی خاک از جمله فراوانی نسبی ذرات و تخلخل خاک موجب تغییرپذیری مکانی هدایت آبی اشیاع شده است. به نظر می‌رسد در منطقه‌ی مطالعاتی هدایت آبی اشیاع باشد. این امر می‌تواند به دلیل اثر مشابه عوامل خاکساز بر خاک موجود بر روی خطوط تراز باشد. این واقعیت باعث گردید تغییرات پارامتر k_{fs} هنگام استفاده از داده‌های مرتعی و پیمایش در جهت شیب بیشترین گردد.

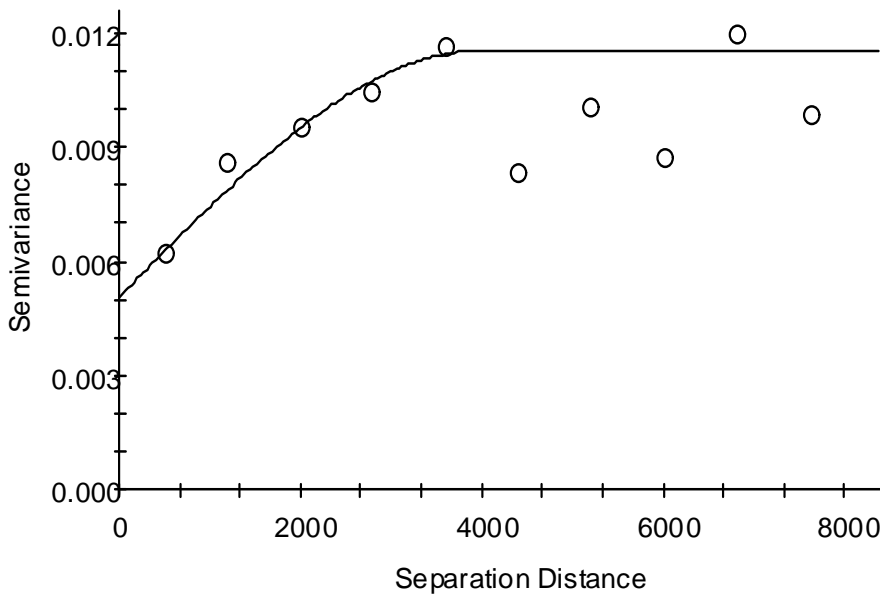
از زمانی است که از تمامی داده‌های اندازه‌گیری شده، استفاده گردید. بدین معنی که با تغییر کاربری ناهمسانگردی در منطقه افزایش یافت. علت وقوع چنین حالتی این است که در صورت استفاده از تمامی داده‌ها، در واقع اطلاعات از جمعیت‌هایی اخذ شده‌اند که از نظر آماری با یکدیگر متفاوت هستند. حال آن که وقتی تنها از داده‌های مرتع استفاده شد، اختلاط جمعیت‌های مطالعاتی رخ نداده است. بنابراین، دامنه‌ی تغییرات واریانس پارامتر مطالعه در جهات مختلف کاهش یافته است. این کاهش ناهمسانگردی به حدی است که در مرکز تغییرنما سطحی قطره‌ای کوچک و بزرگ بیضی مساوی شده‌اند. با این وجود، برآش بیضی ناهمسانگردی بر این تغییرنما نشان می‌دهد حرکت در جهت شیب و عمود بر جهت شیب به ترتیب کوچک‌ترین و بزرگ‌ترین قطره‌ای این بیضی را نمایان می‌سازد. همان‌طور که گفته شد در پهنه‌ی مطالعاتی تغییر نوع کاربری که از

جدول ۱- پارامترهای تغییرنماهای تغوری مورد استفاده برای میان‌یابی هدایت آبی اشیاع مزرعه

RSS	R^2	$\frac{C}{C_0 + C}$	(C_0)	اثر قطعه‌ای ($C_0 + C$)	آستانه (m)	شعاع تائیر (m)	مدل	نوع ویژگی	کل منطقه
.۰۰۰۰۰۲۶۰	.۰۴۹	.۰۵۶۳	.۰۰۵۲۵	.۰۰۵۲۰	۴۰۰			کروی	k_{fs}
.۰۰۰۰۰۲۳	.۰۹۵	.۰۸۸۷	.۰۰۱۰۰	.۰۰۰۹۱	۳۷۲۰			کروی	مرتع



شکل ۲- تغییرنمای سطحی هدایت آبی اشیاع مزرعه برای تمامی داده‌ها (جهت شیب غالب منطقه هم‌راستا با فلش است)



شکل (۳) تغییرنامی همسانگرد هدایت آبی اشباع مزرعه برای تمامی داده‌ها

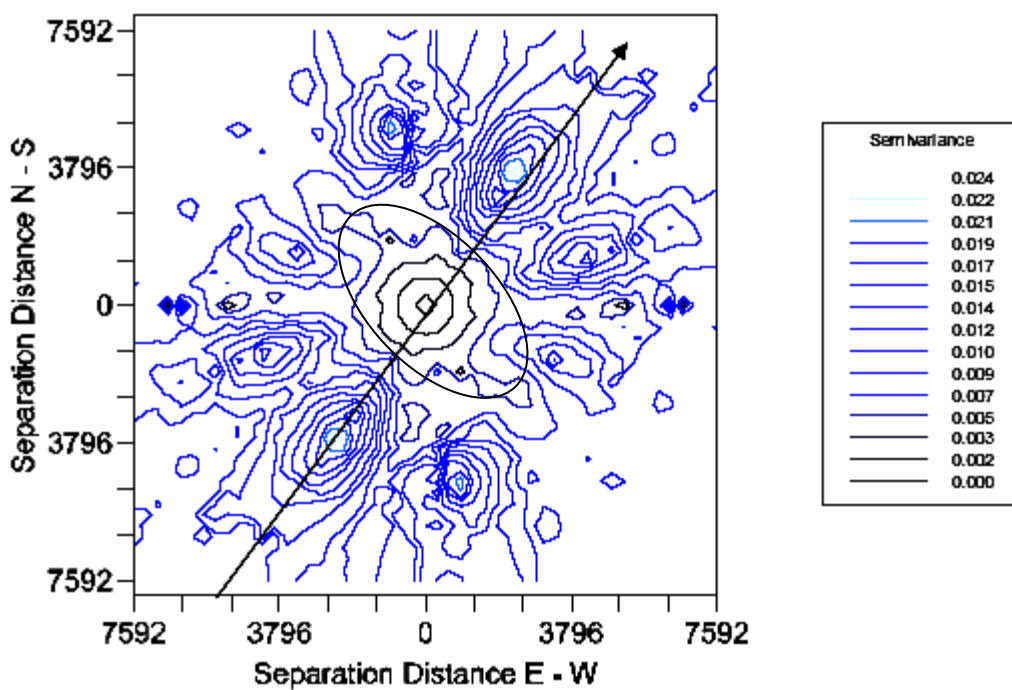
مدل برآزش داده شده بر داده‌های مرتع ۹۵ درصد از تغییرات تغییرنامی تجربی پارامتر k_{fs} را توجیه نموده است. مقدار ضریب رگرسیون این مدل دو برابر همین مقدار در مدل به دست آمده با استفاده از تمامی داده‌ها بوده است. شعاع تاثیر تغییرنما در مدل انتخاب شده برابر ۳۷۲۰ متر بود. دلیل کمتر بودن شعاع تاثیر این تغییرنما در مقایسه با تغییرنامی حاصل از تمامی داده‌ها را می‌توان در حذف شدن داده‌های مرتع تخریب شده از پهنی مطالعاتی دانست. با حذف شدن این داده‌ها فاصله‌ی بین گام‌هایی که دارای همبستگی مکانی هستند، کاهش یافته است. بنابراین، شعاع تاثیر تغییرنما نیز کاهش یافته است.

جدول (۱) نشان می‌دهد ۸۹ درصد از کل تغییرات مربوط به k_{fs} (مرتع)، دارای ساختار مکانی بوده و تنها ۱۱ درصد از این تغییرات تصادفی بوده است. ضریب رگرسیونی به دست آمده برای مدل تغییرنامی در کل منطقه نشان می‌دهد این مدل تنها قادر به توجیه ۴۹ درصد از تغییرات تغییرنامی تجربی آن بوده است. جدول (۱) نشان می‌دهد مقدار کل تغییرات واریانس پارامتر k_{fs} در کاربری مرتع برابر ۰/۰۹۱ بوده که ۲۵ درصد کمتر از تغییرات واریانس این پارامتر در کل منطقه بوده است. اثر قطعه‌ای در مدل ارایه شده‌ی k_{fs} برای اراضی مرتعی (۱۰/۰) نیز بسیار کوچکتر از این مقدار در تغییرنامی به دست آمده از تمامی داده‌ها (۰/۰۵۲۵) بود. بنابراین، می‌توان نتیجه گرفت نوع کاربری بر چگونگی ساختار مکانی پارامتر k_{fs} تاثیرگذار بوده است.

تلقيق نتایج حاصل از تفسیر تغییرناماهای سطحی به دست آمده با استفاده از تمامی داده‌ها و داده‌های مرتعی نشان می‌دهد نوع کاربری اهمیتی بیشتر در تغییرپذیری هدایت آبی اشباع نسبت به ویژگی‌های ذاتی خاک داشته است. زیرا با حذف یا اضافه شدن داده‌های اندازه‌گیری شده در مرتع تخریبی جهت ناهمسانگردی ۹۰ درجه تغییر می‌نماید. تغییرنامی سطحی ارایه شده برای پارامتر k_{fs} در شکل‌های (۲) و (۳) نیز بیانگر این واقعیت می‌باشد.

برای بررسی ساختار مکانی، از تغییرنامی همه جانبه که بیانگر متوسط تغییرات مکانی پارامتر k_{fs} در تمامی راستاها است، استفاده گردید. شکل (۵) تغییرنامی همه جانبه برای پارامتر k_{fs} در کاربری مرتع را نشان می‌دهد. این شکل نشان می‌دهد همبستگی مکانی پارامتر k_{fs} پس از رسیدن به شعاع تقریبی ۳۷۰۰ متری، کاهش یافته است.

پس از محاسبه‌ی تغییرنامی تجربی برای پارامتر k_{fs} در کاربری مرتع، مناسب‌ترین تغییرنامی تئوری برای توجیه تغییرات مکانی این پارامتر تعیین گردید. مدل انتخاب شده مدلی کروی بوده و پارامترهای آن در جدول (۱) ارایه شده است. مجموع مربعات خطای و ضریب رگرسیونی این مدل به ترتیب برابر ۰/۰۰۰۰۰۲۳ و ۹۵/۰ بوده است. مقایسه‌ی شاخص‌های ارزیابی بدست آمده برای این تغییرنما با تغییرنامی حاصل از تمامی داده‌ها نشان می‌دهد مدل برآزش داده شده به داده‌های مرتعی دارای خطای کمتر بوده است. به طوری که مقدار خطای برآزش ۱۰ برابر کوچکتر از مقدار این آماره در تغییرنامی کل منطقه بود.



شکل ۴- تغییرنمای سطحی هدایت آبی اشباع مزرعه برای داده‌های مرتعی



شکل ۵- تغییرنمای همسانگرد هدایت آبی اشباع مزرعه برای داده‌های مرتعی

داده‌های اندازه‌گیری شده در آن‌ها فاصله‌ی زیادی از هم داشتند. همچنین، با ورود بشر به این نقاط پیوستگی داده‌های محیطی و در

با توجه به این که اراضی که در آن‌ها مرتع، تخریب شده بود، در کل منطقه پراکنده و سطح آن بسیار کمتر از مرتع بود، برخی

شیب بخش میانی این تغییرنما بسیار کمتر از تغییرنمای به دست آمده برای پارامتر k_{fs} است. هر قدر شیب این قسمت از تغییرنما کمتر باشد، محیط همگن تر بوده و در فاصله‌ای بیشتر به آستانه می‌رسد. بنابراین، تغییرات مکانی پارامتر S از همگنی بیشتری نسبت به پارامتر k_{fs} برخوردار بوده است. با توجه به این که واریانس‌های محاسبه شده برای این دو پارامتر دارای بعد می‌باشد، نمی‌توان در این مورد که کدام پارامتر از تغییرپذیری بیشتری برخوردار است، داوری کرد.

پس از محاسبه‌ی تغییرنما تجربی پارامتر S در کل منطقه، به نقاط آن مدلی برآش داده شد تا تغییرنمای تئوری حاصل گردد. پارامترهای مدلی کروی انتخاب شده برای پارامتر S با استفاده از تمامی داده‌ها در جدول (۲) ارایه شده است. مجموع مریعات خطای و ضریب رگرسیونی این مدل به ترتیب برابر $453\text{,}000/0\text{,}081$ و $0\text{,}045$ است. شعاع تاثیر تغییرنما در مدل انتخاب شده برابر 9980 متر برآورد شده است. این جدول نشان می‌دهد از کل تغییرات مربوط به پارامتر S در کل منطقه، 52 درصد آن دارای ساختار مکانی بوده و 48 درصد باقی‌مانده شامل تغییرات تصادفی بوده است. ضریب رگرسیونی به دست آمده برای مدل پارامتر S در کل منطقه نشان می‌دهد مدل ارایه شده برای آن، 81 درصد از تغییرات تغییرنما تجربی این پارامتر را توجیه نموده است. مقایسه‌ی پارامترهای این مدل با پارامترهای مدل انتخاب شده برای پارامتر k_{fs} کل منطقه نشان می‌دهد، تغییرات پارامتر S به گونه‌ای بهتر با استفاده از مدل‌های تئوری بیان گردیده است.

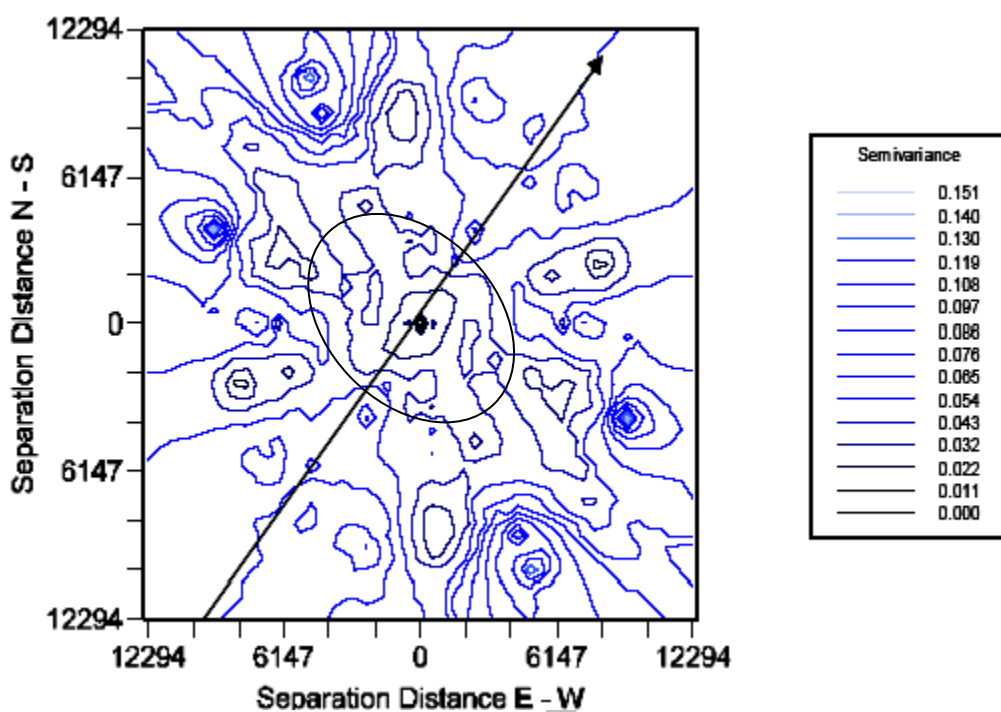
با استفاده از داده‌هایی که تنها در مرتع اندازه‌گیری شده بود، ساختار مکانی هدایت ضریب جذبی خاک (S) در پهنه‌های مطالعاتی مورد بررسی قرار گرفت. بدین منظور، تغییرنما این پارامتر در چهار راستای اصلی $0^\circ, 90^\circ, 135^\circ$ و 225° درجه تعیین گردید. برای بررسی وضعیت همسانگردی این پارامتر در کاربری مرتع، از تغییرنما سطحی و تغییرنماهای به دست آمده در چهار راستای یاد شده استفاده شد. تغییرنما سطحی محاسبه شده این پارامتر با استفاده از داده‌های اراضی مرتع در شکل (۸) ارایه شده است. این شکل نشان می‌دهد تغییرات مکانی پارامتر S با داده‌های مرتعی دارای ناهمسانگردی کمتری نسبت به تغییرات آن در تمامی داده‌ها بوده است. به طور کلی در فاصله‌ای نزدیک به شعاع تاثیر (حدود 4500 متر) این پارامتر، تغییرات آن تقریباً همسانگرد بود. مقایسه‌ی این تغییرنما سطحی با تغییرنما سطحی ارایه شده برای پارامتر S در شکل (۶) نشان می‌دهد، وضعیت ناهمسانگردی این پارامتر به هنگام استفاده از داده‌های مرتعی مناسب‌تر از زمانی است که از تمامی داده‌های اندازه‌گیری شده استفاده شد. این رخداد را می‌توان به همگن‌تر شدن داده‌ها در اثر جداسازی داده‌های غیرمرتعی نسبت داد. بنابراین، می‌توان گفت تغییرات پارامتر S متأثر از نوع کاربری نیز بوده است.

نتیجه توزیع مکانی آنها دستخوش تغییر شده است. لذا، پارامترهای k_{fs} و S در این اراضی از ساختار مکانی ضعیفی برخوردار بودند. البته جفت زوج‌های موجود در هر گام نیز کمتر از 30 زوج نمونه‌ی موثر بود. در محاسبه‌ی تغییرنما نباید از گام‌هایی که کمتر از 30 زوج نمونه‌ی موثر دارند، در برآش مدل به تغییرنما تجربی استفاده کرد (Journel and Huijbregts, 1978). در این پژوهش، برای بررسی ساختار مکانی پارامترهای نفوذ در اراضی تخریبی مشکل محدودیت تعداد جفت زوج‌ها و فاصله‌ی نقاط اندازه‌گیری وجود داشت. از این رو، ساختار مکانی پارامترهای نفوذ در مرتع تخریب شده به طور جداگانه مورد بررسی قرار نگرفت.

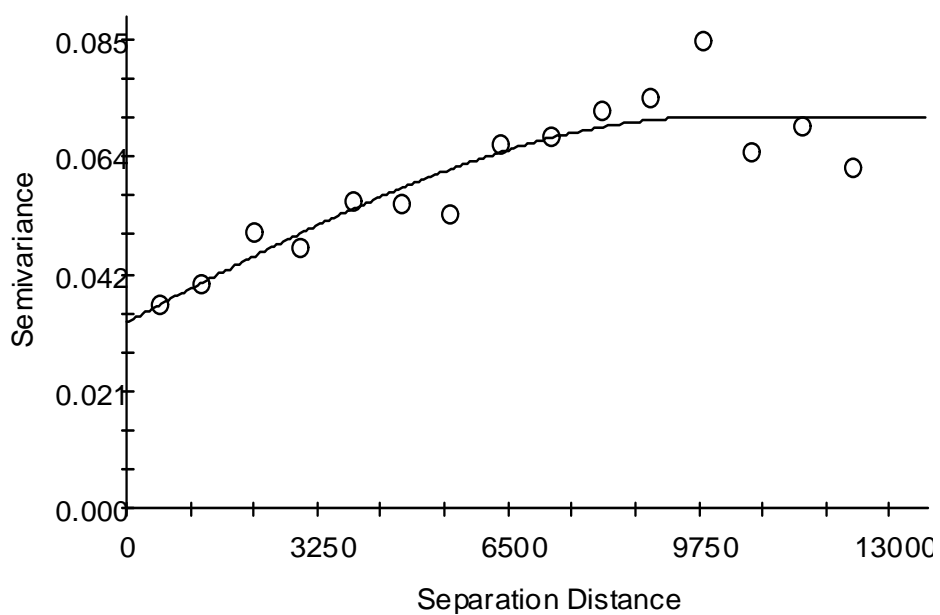
همچون پارامتر k_{fs} ، تغییرنما تجربی پارامتر S نیز با داده‌های اندازه‌گیری شده در هر دو کاربری و داده‌های اندازه‌گیری شده در کاربری مرتع به طور جداگانه محاسبه گردید. بر این اساس، تغییرنما این پارامتر در چهار راستای اصلی $0^\circ, 45^\circ, 90^\circ$ و 135° درجه تعیین گردید. شکل (۶) تغییرنما سطحی محاسبه شده با تمامی داده‌ها برای پارامتر S را نشان می‌دهد. این شکل نشان می‌دهد ناهمسانگردی اندکی در ساختار مکانی این پارامتر وجود داشته است. مقایسه‌ی شکل‌های (۲) و (۶) نشان می‌دهد، پارامتر S دارای ناهمسانگردی بسیار کمتری نسبت به پارامتر k_{fs} در کل پهنه‌ی مطالعاتی بوده است. قطر بزرگ بیضی قابل برآش بر تغییرنما سطحی پارامتر S بسیار کوچک‌تر از مقدار آن برای پارامتر k_{fs} بوده است. شکل (۶) نشان می‌دهد پارامتر S بیشترین شعاع تاثیر را نه در جهت شیب و نه در راستای عمود بر جهت شیب منطقه بلکه در جهتی بینایین داشته است. این بدان معنی است که نوع کاربری و جهت شیب نتوانسته‌اند بخشی اعظم از تغییرات این پارامتر را توجیه کنند. به نظر می‌رسد تغییرات مکانی این پارامتر علاوه بر ویژگی‌های ذاتی خاک مانند فراوانی نسبی ذرات به ویژگی‌های دیگر از منطقه از جمله رطوبت اولیه، نوع ماده‌ی آلی و در نتیجه نوع پوشش گیاهی نیز وابسته است. البته هیچ‌کدام از این ویژگی‌ها به تنهایی نقشی تعیین کننده بر تغییرات پارامتر S نداشته است. به عنوان مثال، اگر این پارامتر به طور ویژه متأثر از نوع کاربری بود، باید رفتاری شبیه پارامتر k_{fs} داشته باشد.

برای بررسی ساختار مکانی پارامتر S تغییرنما همه جانبه آن به کار گرفته شد. شکل (۷) تغییرنما همه جانبه برای این پارامتر را در حالتی که تمام داده‌ها برای بررسی ساختار مکانی آن به کار گرفته شد، نشان می‌دهد. این شکل نشان می‌دهد همبستگی مکانی پارامتر S پس از رسیدن به شعاع حدود 10000 متری، کاهش یافته است. واریانس تغییرات پارامتر S در فواصل بیش از این شعاع به صورت تصادفی در آمده است.

شکل (۷) نشان می‌دهد تغییرات مکانی پارامتر S زیاد بوده و نزدیک به 50° درصد از این تغییرات بدون ساختار (اثر قطعه‌ای) است.



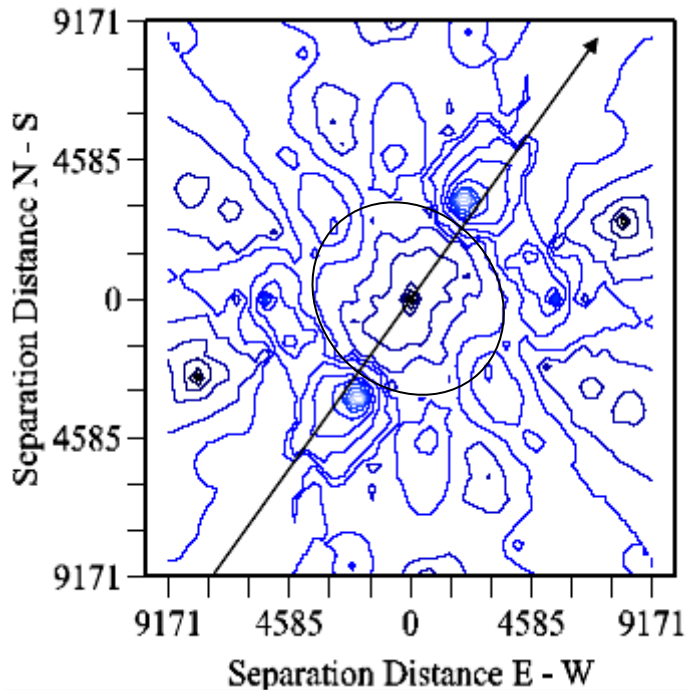
شکل ۶- تغییرنمای سطحی ضریب جذبی خاک برای تمامی داده‌ها



شکل ۷- تغییرنمای همسانگرد ضریب جذبی خاک برای تمامی داده‌ها

جدول ۲- پارامترهای تغییرنماهای تئوری مورد استفاده برای میانیابی ضریب جذبی خاک

RSS	R^2	$\frac{C}{C_0 + C}$	شاعر تاثیر (m)	آستانه ($C_0 + C$)	نوع ویژگی	مدل	کل منطقه S
.۰۰۰۴۵۳	.۸۱	.۵۲۵	.۰۳۳۷	.۰۷۱۰	کروی		
.۰۰۰۳۹۶	.۷۷	.۶۴۳	.۰۲۲۰	.۰۶۱۷	کروی	مرتع	S



شکل ۸- تغییرنمای سطحی ضریب جذبی خاک برای داده‌های مرتعی

این نقاط در منطقه‌ی مطالعاتی، پیوستگی ویژگی‌های اندازه‌گیری شده و در نتیجه همبستگی مکانی داده‌ها افزایش یافته است. شبیب بخش میانی تغییرنمای به دست آمده با استفاده از داده‌های مرتعی بسیار بیشتر از تغییرنمای به دست آمده با تمامی داده‌ها بود. بنابراین این تغییرنما در فاصله‌ی بسیار کوتاه‌تری به آستانه رسیده است. این رخداد ناشی از افزایش فاصله‌ی بین نقاط اندازه‌گیری شده است. زیرا با افزایش این فاصله، اثر داده‌های نزدیک به هم از نظر زمین‌آماری معنی‌دارتر می‌شود. بنابراین، کاهش دامنه‌ی این تغییرنما قابل انتظار بود.

پس از محاسبه‌ی تغییرنمای تجربی پارامتر S برای مرتع منطقه، به نقاط آن مدلی برآش داده شد تا تغییرنمای تئوری حاصل گردد. پارامترهای مدل کروی انتخاب شده برای پارامتر S در این حالت در جدول (۲) ارایه شده است. مجموع مربعات خطأ و ضریب رگرسیونی این مدل به ترتیب برابر .۰۰۰۳۹۶ و .۷۷ بوده است. شاعر تاثیر تغییرنما در مدل انتخاب شده برابر ۴۸۷۰ متر و تقریباً نصف شاعر

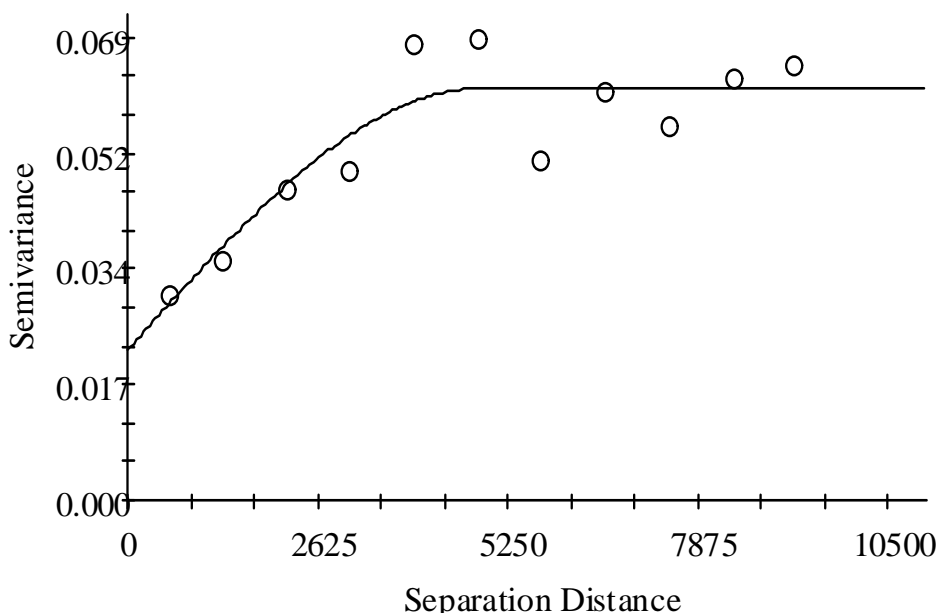
تغییرنمای تجربی و تئوری محاسبه شده برای پارامتر S با استفاده از داده‌های مرتعی در شکل (۹) ارایه شده است. این شکل نشان می‌دهد تغییرات مکانی این پارامتر در داده‌های مرتعی کمتر از تمامی داده‌ها بوده است. مقایسه‌ی شکل‌های (۷) و (۹) نشان می‌دهد ساختار مکانی پارامتر S در داده‌های مرتعی بسیار بیشتر از داده‌های کل منطقه بوده است. در عین حال، تغییرات تصادفی پارامتر S در داده‌های مرتعی کمتر از تمامی داده‌ها بود. با کم شدن تعداد داده‌ها در مرتع نسبت به داده‌های کل منطقه، میانگین فاصله‌ی بین نقاط افزایش یافته است. افزایش فاصله‌ی بین نقاط اندازه‌گیری در برخی مطالعات انجام شده بر روی تغییرات مکانی پارامتر S (Hallet et al., 2005; Sepaskhah et al., 2004) موجب کاهش همبستگی مکانی داده‌ها شده است. حال آن که در این پژوهش عکس این حالت اتفاق افتاده است. علت این امر را می‌توان به همگن شدن داده‌ها در اثر جداسازی داده‌های موجود در کاربری‌های یاد شده نسبت داد. بدین معنی که با جدا کردن نقاط مرتعی تخریب شده و با فرض عدم وجود

همکاران (۱۹۸۹) تغییرپذیری مکانی پارامترهای مدل فیلیپ را مورد بررسی قرار دادند. در پژوهش انجام شده به وسیله‌ی این پژوهشگران، پارامترهای مدل فیلیپ در شبکه‌های منظم 1×1 و 100×100 متر اندازه‌گیری شد. نتایج این پژوهش نشان داد پارامترهای مدل فیلیپ از همبستگی مکانی بسیار ضعیفی برخوردار بوده‌اند. حال آن‌که در پژوهش حاضر این پارامترها، ساختار مکانی مناسبی نشان دادند.

در پژوهشی دیگر، Mallants و همکاران (۱۹۹۷) تغییرات مکانی هدایت آبی اشیاع در طول یک مسیر خطی مورد بررسی قرار گرفت. حداقل دامنه‌ی تغییرنما محاسبه شده در این پژوهش ۱۴ متر گزارش شده و تنها ۵۰ درصد از تغییرات این پارامتر دارای ساختار مکانی بوده است. همچنین، طی پژوهش انجام شده توسط Ersahin (۲۰۰۳) تغییرات مکانی هدایت آبی اشیاع در منطقه‌ای با شبکه‌های منظم 25×25 متری مورد بررسی قرار گرفت. در این پژوهش دامنه‌ی تغییرنما و نسبت $\frac{C}{C_0 + C}$ به دست آمده برای پارامتر هدایت آبی اشیاع به ترتیب 165 متر و 0.44 گزارش شده است. حال آن‌که دامنه‌ی تغییرنما و نسبت $\frac{C}{C_0 + C}$ به دست آمده در پژوهش حاضر برای هدایت آبی اشیاع در بدترین حالت به ترتیب برابر 3720 متر و 56 درصد بود.

تاثیر در تغییرنما پارامتر C برای کل منطقه بود. این جدول نشان می‌دهد ۶۴ درصد از کل تغییرات مربوط به پارامتر C (در مراتع) دارای ساختار مکانی بوده و ۳۶ درصد باقی مانده شامل تغییرات تصادفی بوده است. مقایسه‌ی پارامترهای دو مدل موجود در جدول (۲) نشان می‌دهد پارامتر C در اراضی مرتعی از ساختار مکانی قوی‌تری نسبت به کل منطقه برخوردار بوده است. ضریب رگرسیونی به دست آمده برای مدل پارامتر C در اراضی مرتعی نشان می‌دهد، مدل ارایه شده برای آن، ۷۷ درصد از تغییرات تغییرنما تجربی این پارامتر را توجیه نموده است. مقایسه‌ی پارامترهای این مدل با پارامترهای مدل انتخاب شده برای کل منطقه نشان می‌دهد تغییرات پارامتر C در اراضی مرتعی به گونه‌ای مناسب‌تر با استفاده از مدل‌های تئوری بیان گردیده است.

پژوهشگران مختلف، مطالعاتی گوناگون برای تعیین ساختار مکانی پارامترهای هدایت آبی اشیاع و ضریب جذبی خاک انجام داده‌اند (Sharma et al., 1989; Mallants et al., 1997; Ersahin, 2003; Hallett et al., 2004; Sepaskhah et al., 2005). این پژوهش‌ها در مقیاس‌های مختلف، روش‌های مختلف اندازه‌گیری و فواصل نمونه‌برداری متفاوت صورت گرفته است. نتایج پژوهش حاضر در بسیاری موارد متفاوت از این پژوهش‌ها بوده است. به‌طور کلی در پژوهش حاضر ساختار مکانی قوی‌تری برای پارامترهای یاد شده مشاهده شد. به عنوان مثال، Sharma و



شکل ۹- تغییرنما همسانگرد ضریب جذبی خاک برای داده‌های مرتعی

بیشتر می‌باشد. با مقایسه‌ی دامنه‌ی تغییرات هدایت آبی اشباع در شکل‌های (۱۰) و (۱۱) می‌توان تاثیر نوع کاربری بر این ویژگی را بررسی کرد. این مقایسه نشان می‌دهد نوع کاربری تاثیری چشمگیر بر هدایت آبی اشباع داشته است. این تاثیر به حدی است که جهت تغییرات این پارامتر در کاربری مرتع، عمود بر جهت آن در زمانی است که بخشی از مراتع موجود تخریب شده‌اند.

در شکل (۱۲) نقشه‌ی میان‌یابی شده برای پارامتر ضریب جذبی خاک به هنگام استفاده از تمامی داده‌ها نشان داده شده است. این شکل نشان می‌دهد بیشترین دامنه‌ی تغییرات این پارامتر در راستای عمود بر جهت شب بوده است. شکل (۱۳) نیز نقشه‌ی دامنه‌ی تغییرات پارامتر S را در صورت عدم تخریب مراتع منطقه نشان می‌دهد. این شکل نشان می‌دهد تغییرات این پارامتر نیز همانند شکل (۱۲) در راستای عمود بر جهت شب بود. شکل‌های (۱۲) و (۱۳) نشان می‌دهد در بخش مرکزی پهنه‌ی مطالعاتی، تغییرات پارامتر S در جهات مختلف یکسان بوده است. مطابق آنچه گفته شد شاع تاثیر تغییرنامی به دست آمده برای پارامتر S با داده‌های مرتعی کمتر از مقدار آن برای پارامتر S با تمام داده‌ها بود. بنابراین، شاع جستجوی انتخاب شده برای پارامتر S با داده‌های مرتعی نیز کمتر از دیگر حالت بود. به همین دلیل، نقشه‌ی میان‌یابی شده برای پارامتر S در دو وضعیت ذکر شده پهنه‌ای یکسانی نداشتند.

نتایج ارزیابی عملکرد روش کریجینگ معمولی برای تخمین نقشه‌ی هدایت آبی اشباع مزرعه و ضریب جذبی خاک با استفاده از دو گروه داده‌ی یاد شده در جدول (۳) ارایه شده است. برای انجام این ارزیابی از آماره‌های میانگین قدرمطلق خطاهای (MAE)، میانگین خطاهای (ME) و ریشه میانگین مربعات خطأ (RMSE) و میانگین مقادیر اندازه‌گیری شده و برآورد شده استفاده شد. نتایج این ارزیابی نشان می‌دهد روش کریجینگ معمولی پارامتر هدایت آبی اشباع و ضریب جذبی خاک را با استفاده از داده‌های مرتع با دقیقیت بهتر برآورد نموده است. برتری روش کریجینگ در برآورد این پارامترها در اراضی مرتعی به علت ساختار مکانی به دست آمده در این اراضی نسبت به داده‌های کل منطقه می‌باشد. این جدول نشان می‌دهد پارامترهای مدل فیلیپ در داده‌های مرتعی بیش از مقدار واقعی و در تمامی داده‌ها کمتر از مقدار واقعی برآورد شده است. مقایسه‌ی مقادیر میانگین واقعی و تخمینی نشان می‌دهد روش مورد استفاده با دقیقیت زیاد قادر به برآورد میانگین این دو پارامتر در منطقه بوده است.

Sepaskhah و همکاران (۲۰۰۵) ساختار مکانی ضریب جذبی خاک را در فواصل $0\text{--}5 \times 5\text{--}5$ متر مورد بررسی قرار دادند. این پژوهش نشان داد تنها در صورت نمونه‌برداری در فاصله‌های $0\text{--}5$ متری پارامتر S مدل فیلیپ دارای ساختار مکانی خواهد بود. مقایسه‌ی نتایج بدست آمده در پژوهش حاضر و دیگر پژوهش‌هایی که ساختار مکانی پارامترهای نفوذ را بررسی کرده‌اند، نشان می‌دهد تغییرات مکانی ویژگی‌های هیدرولیکی خاک به گونه‌ای چشمگیر به منطقه‌ی مطالعاتی وابسته است.

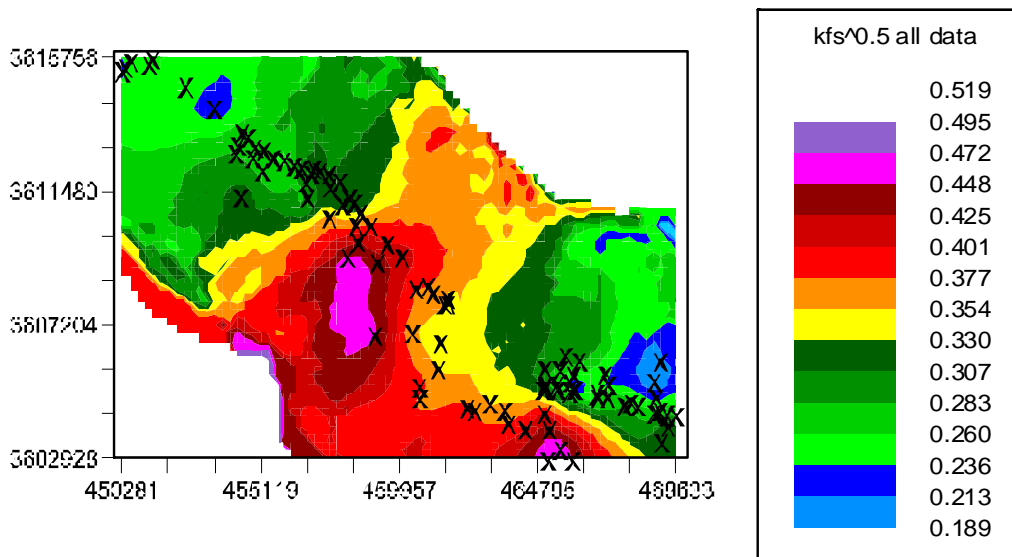
برآورد پارامترهای نفوذ به روش کریجینگ معمولی

به طور کلی، برآورد زمین‌آماری فرآیندی است که طی آن مقدار یک کمیت در نقاطی با مختصات معلوم با استفاده از مقدار همان کمیت در نقاطی دیگر با مختصات معلوم به دست می‌آید. برای استفاده از روش‌های زمین‌آماری در برآورد کمیت مورد نظر، ساختاری مکانی کمیت مورد نیاز است. در این پژوهش از مدل‌های برازش داده شده بر تغییرنامه‌ای تحریبی پارامترهای نفوذ بهمنظور برآورد این پارامترها به روش کریجینگ معمولی استفاده شد. بنابراین، با استفاده از پارامترهای موجود در جدول‌های (۱) و (۲) و نرم‌افزار زمین‌آماری GS⁺ نقشه‌ی میان‌یابی شده‌ی پارامترهای نفوذ تهیه گردید.

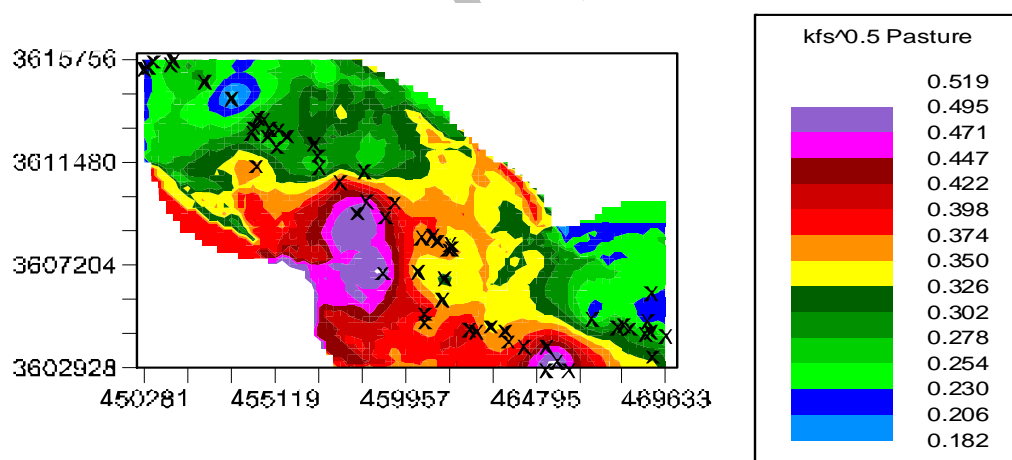
به منظور تهیه‌ی نقشه‌ی هر کدام از پارامترها، شاع جستجو برابر با شاع تاثیر تغییرنامی مربوطه در نظر گرفته شد. برای تعیین تعداد نقطه‌ی بهینه برای شرکت در میان‌یابی پارامتر مربوطه، از روش سعی و خطا استفاده شد. در این روش، ابتدا تعداد نقاط همسایگی مورد نظر انتخاب گردید. سپس با استفاده از روش اعتباریابی مقاطعه، به ازای تعداد نقاط همسایگی مختلف، عملکرد روش زمین‌آماری انتخاب شده مورد ارزیابی قرار گرفت. تعداد نقاطی همسایگی که دارای کمترین خطأ در برآورد پارامتر مربوطه بود، به عنوان نقاط همسایگی بهینه برگزیده شد.

پس از تعیین تعداد بهینه‌ی نقاط همسایگی، نقشه‌ی میان‌یابی شده‌ی پارامتر مورد نظر تهیه شد. نقشه‌های میان‌یابی شده برای پارامترهایی هدایت آبی اشباع مزرعه و ضریب جذبی خاک در شکل‌های (۱۰)، (۱۱)، (۱۲) و (۱۳) ارایه شده است.

شکل (۱۰) نشان می‌دهد تغییرات هدایت آبی اشباع به هنگام استفاده از تمامی داده‌ها عمود بر جهت شب بوده است. همان‌طور که گفته شد، تغییر کاربری در منطقه‌ی مطالعاتی نیز عمود بر جهت شب صورت گرفته است. حال آن که در شکل (۱۱) که تنها از داده‌های مرتعی استفاده شد، دامنه‌ی تغییرات هدایت آبی اشباع در جهت شب



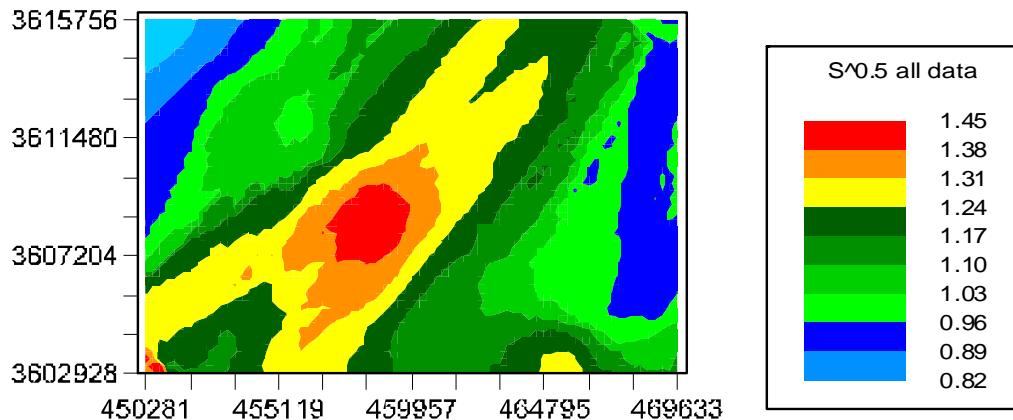
شکل ۱۰- نقشه میان‌یابی هدایت آبی اشباع مزرعه با استفاده از کریجینگ با تمامی داده‌ها.



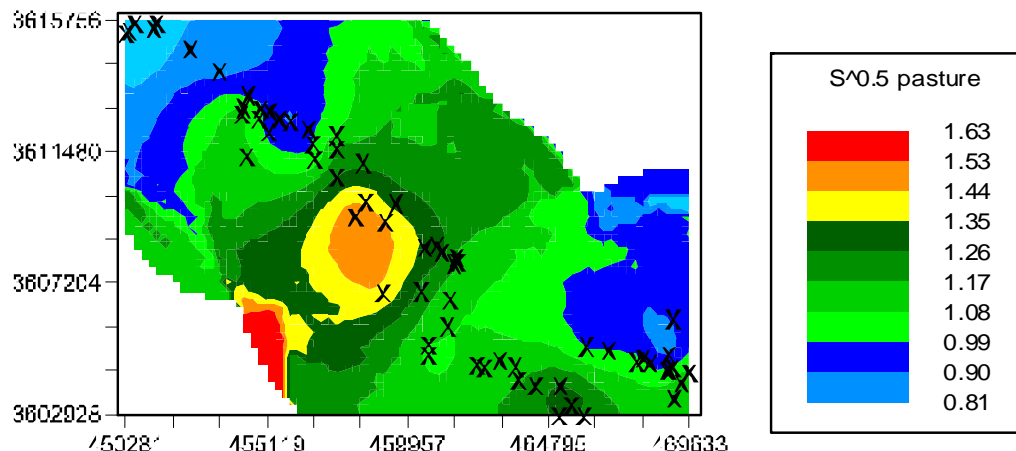
شکل ۱۱- نقشه میان‌یابی اشباع مزرعه با استفاده از کریجینگ با داده‌های مرتعی.

جدول ۳- شاخص‌های ارزیابی عملکرد کریجینگ معمولی در برآورد پارامترهای نفوذ

	میانگین واقعی	میانگین تخمینی	ME	RMSE	MAE	ویژگی
۰/۳۱۰	۰/۳۱۳	-۰/۰۰۲۶۵	۰/۰۸۴۸	۰/۰۶۸۵	۰/۰۶۸۵	کل منطقه k_{fs}
۰/۳۲۹	۰/۳۲۷	-۰/۰۱۹۴	۰/۰۷۷۵	۰/۰۶۲۷	۰/۰۶۲۷	مرتع k_{fs}
۱/۰۹۱	۱/۰۹۴	-۰/۰۰۲۲	۰/۱۹۲۶	۰/۱۵۲۷	۰/۱۵۲۷	کل منطقه S
۱/۰۸۴	۱/۰۸۳	-۰/۰۰۷۹	۰/۱۸۲۵	۰/۱۴۵۳	۰/۱۴۵۳	مرتع S



شکل ۱۲- نقشه میان‌یابی ضریب جذبی خاک با استفاده از کریجینگ با تمامی داده‌ها



شکل ۱۳- نقشه ضریب جذبی خاک با استفاده از کریجینگ با داده‌های مرتعی

29: 577–586.

Gupta, N., R.P. Rudra and G. Parkin. 2006. Analysis of spatial variability of hydraulic conductivity at field scale. Canadian Biosystems Engineering, 48: 55-62.

Hallet, P.D., N. Nunan, J.T. Douglas, I.M. Young. 2004. Millimeter-scale spatial variability in soil water sorptivity: scale, surface elevation and subcritical repellency effects. Soil Sci. Soc. Am. J., 68: 352-358.

Herbst, M. and B. Diekkruger. 2003. Modelling the spatial variability of soil moisture in a micro-scale catchment and comparison with field data using geostatistics. Physics and Chemistry of the Earth, 28: 239–245.

Journel, A.G. and C.J. Huijbregts. 1978. Mining Geostatistics. Academic press, London.

Lin, H., D. Wheeler, J. Bell and L. Wilding. 2004. Assessment of soil spatial variability at multiple

مراجع

بایبوردی، م. ۱۳۷۹. فیزیک خاک، چاپ پنجم، انتشارات دانشگاه

تهران، تهران، ایران، ۶۷۱ ص.

Castrignano, A., L. Giugiarini, R. Risaliti and N. Martinelli. 2000. Study of spatial relationships among some soil physico-chemical properties of a field in central Italy using multivariate geostatistics. Geoderma, 97: 39–60.

Ersahin, S. 2003. Comparing ordinary kriging and cokriging to estimate infiltration rate. Soil Sci. Soc. Am. J., 67: 1848-1855.

Glenna, N. and J. R. Carrb. 2003. The use of geostatistics in relating soil moisture to RADARSAT-1 SAR data obtained over the Great Basin, Nevada, USA. Computers and Geosciences,

- Sepaskhah, A.R., S.H. Ahmadi and A.R. Nikbakht Shahbazi. 2005. Geostatistical analysis of sorptivity for a soil under tilled and no-tilled conditions. *Soil and Tillage Res.*, 83: 237-245.
- Sharma, M.L., R.J.W. Barron and E.S. De Boer. 1989. Spatial structure and variability of infiltration parameters. *Advances in Infiltration*, 113-121.
- Smith, R.E. 1999. Technical note: rapid measurement of soil sorptivity. *Soil Sci. Soc. of Am. J.*, 63: 55-57.
- Talsma, T. 1969. In-situ measurement of sorptivity. *Aust. J. Soil Res.*, 7: 269-276.
- Webster, R. and M.A. Oliver. 2001. *Geostatistics for environmental scientists*. John Wiley & Sons, Chichester, England. 271 pp.
- Youngs, E.G. 1968. An estimation of sorptivity for infiltration studies from moisture conditions. *Soil Sci.*, 106: 157-163.
- Youngs, E.G. 1987. Estimating hydraulic conductivity values from ring infiltrometer measurements. *J. Soil Sci.*, 38: 623-632.
- Youngs, E.G. 1991. Infiltration measurements, A review. *Hydrological Process*, 5: 309-310.
- Youngs, E.G., P.B. Leeds-Harison and D.E. Elrick. 1995. The hydraulic conductivity of low permeability wet soils used as landfill lining and capping materials: analysis of pressure infiltrometer measurements. *J. Soil Tech.*, 8: 153-160
- Zhang, R., P.J. Shouse, S.R. Yates and A. Kravchenko. 1997. Application of geostatistics in soil science. *Trends in soil science*, 2: 95-104.
- scales. *Ecological Modelling*,
- Mallants, D., B.P. Mohanty, A. Vervoort and J. Feyen. 1997. Spatial analysis of saturated hydraulic conductivity in a soil with macropores. *Soil Tech.*, 10: 115-131.
- Pérez-Rodríguez, R., M.J. Marques, R. Bienes. 2007. Spatial variability of the soil erodibility parameters and their relation with the soil map at subgroup level. *Science of the Total Environment*, 378: 166-173.
- Rekman, J., R. Turski, and J. paluszek. 1998. Spatial and Temporal Variations in erodibility of loess. *Soil and Tillage Res.* 6(1, 2): 61-68.
- Reynolds, W.D. and D.E. Elrick. 1990. Ponded infiltration from a single ring: I. Analysis of steady flow. *Soil Sci. Soc. Am. J.*, 54: 1233-1241.
- Reynolds, W.D., D.E. Elrick and E.G. Youngs. 2002. Ring or Cylinder Infiltrometers (vadose zone), pp. 818-826 In: *Methods of soil analysis*, Part 4. physical methods. Dane J.H. and G.C. Topp. Soil Science Society of America Book Series. Madison, 1692 pp.
- Rogers, J. S., H. M. Selim, C. E. Carter and J. L. Fouss. 1991. Variability of auger hole hydraulic conductivity values for a commerce silt loam. *Transition of the ASAE*, 34(3):876-881.
- Ryan, B.F. and B.L. Jonier. 1976. Normal Probability Plots and Tests for Normality, Technical Report, Statistics Department, The Pennsylvania State University. Available from Minitab In.

تاریخ دریافت: ۸۸/۵/۲۰

تاریخ پذیرش: ۸۸/۹/۲۳

Effect of Land Use Change on Spatial Variability of Infiltration Parameters

Sh. Ghorbani Dashtaki¹, M. Homaei^{2*} and M.H. Mahdian³

Abstract

Spatial variability of infiltration has an important role on the hydrological processes. Spatial variability of infiltration is affected by extrinsic and intrinsic properties of soils. The objective of this study was to investigate the spatial variations of infiltration parameters through the variation of soil intrinsic properties and land use variation (as an extrinsic factors) using geostatistics methods. Therefore, 95 single ring infiltration data were measured from a field with rangeland and degraded rangeland land uses, simultaneously. The parameters of the Philip model were then obtained using measured infiltration data for all sampling points. The spatial variations of the parameters were assessed using the whole measured data and measured data at rangeland land use, separately. The mean infiltration data in the rangeland land use were higher than the degraded rangeland. It seems that cultivation activities that led to degrading in the rangeland are one of the reasons for decreasing the infiltration at the degraded rangeland comparing to protected rangeland. The geostatistical analysis indicated that strong spatial variability in Philip parameters exist in the investigated area, such that about 10 percent of saturated hydraulic conductivity variation and 35 percent of the variation in sorptivity parameters was random in the rangelands. The variography of the parameters showed that the land use change affected saturated hydraulic conductivity parameter more than sorptivity parameter, so that results on decreasing the spatial structure of saturated hydraulic conductivity and sorptivity parameters from 89 and 64 percents to 56 and 53 percents, respectively. The comparison between the result of this study and the past study showed that the spatial variability of hydraulic conductivity depend on the study area. The results indicated that the geostatistics method was a proper method for predicting the infiltration parameters in the study area with 0.08 and 0.19 RMSE for saturated hydraulic conductivity and sorptivity, respectively.

Key words: Geostatistics, Infiltration, Land Use, Spatial Variability

1- Former PhD student of Tarbiat Modares University and current Assistant Prof. of Shahrekord University
2- Prof., Department of Soil Science, Tarbiat Modares University

(* - Corresponding Author Email: [@yahoo.com](mailto:mhomaei@yahoo.com))

3- Associate Prof., Agricultural Research, Education and Extension Organization